



Raport

z badań poziomu natężenia pola elektrycznego
w otoczeniu stacji bazowej:

SWI3047

na podstawie sprawozdania 42/1/24/OS udostępnionego przez Radiolog S.C. Tadeusz Piotrowski i
Janusz Rzepka

Laboratorium prowadzące badania

Radiolog S.C. Tadeusz Piotrowski i Janusz Rzepka
ul. Dworska 46
71-026 Szczecin
91 483 21 15
radiolog_sc@poczta.onet.pl

Zleceniodawca badań

P4 Sp. z o.o.
Wynalazek 1
02-677 Warszawa
790 500 500
kontakt@play.pl

Nr akredytacji: AB 413

Data wydania sprawozdania: 03.01.2024

Raport zawiera wybrane elementy sprawozdania i służy wyłącznie obrazowemu przedstawieniu informacji o danej instalacji. Raport nie może być wykorzystywany w postępowaniach administracyjnych.

Informacje ogólne

Zgodność z metodyką RMK: Tak

Ograniczenia: Na podstawie art. 122a ust. 1b ustawy Prawo ochrony środowiska (t.j. Dz.U. z 2020 r., poz. 1219, 1378, 1565, 2127, 2338, z 2021 r. poz. 802, 868, 1047, 1162, 1535.), pomiary PEM w lokalach mieszkalnych i użytkowych zlokalizowanych w obszarze pomiarowym badanej stacji bazowej nie zostały przeprowadzone.

Wykorzystanie w obszarze regulowanym: Tak

Przedmiot badań

Identyfikator stacji w UKE	SWI3047
Operator	P4 Sp. z o.o.
Współrzędne	16,3128611; 50,8644722
Rodzaj pracy	ciągła
Rodzaj wytwarzanego pola	stacjonarne

Miejsce badań

Otoczenie stacji bazowej SWI3047 w lokalizacji Świebodzice, Mieszka Starego 2, dz. nr 551/2.

Cel badań

1. Zweryfikowanie zgodności z wymaganiami rozporządzenia Ministra Zdrowia z dnia 19 grudnia 2019 r.

Opis stacji bazowych

Tabela 1: Opis anten badanych stacji bazowych

Lp.	Identyfikator stacji w UKE	Typ Producent anteny	Azymut	H	EIRP	Pasma	Tilt	Tilt w trakcie pomiarów
			[°]	[m]	[W]	[MHz]	[°]	[°]
1	SWI3047	A114521R1v06 Huawei	55	24,40	26595*	LTE 1800	2,0 - 12,0	7,0
						LTE 2100	2,0 - 12,0	7,0
						LTE 1800	2,0 - 12,0	7,0
						LTE 2100	2,0 - 12,0	7,0
						UMTS 900	0,0 - 14,0	7,0
						LTE 800	0,0 - 14,0	7,0
						LTE 2600	2,0 - 12,0	7,0
						LTE 2600	2,0 - 12,0	7,0
2	SWI3047	A114521R1v06 Huawei	145	24,40	26595*	LTE 1800	2,0 - 12,0	7,0
						LTE 2100	2,0 - 12,0	7,0
						LTE 1800	2,0 - 12,0	7,0
						LTE 2100	2,0 - 12,0	7,0
						UMTS 900	0,0 - 14,0	7,0
						LTE 800	0,0 - 14,0	7,0
						LTE 2600	2,0 - 12,0	7,0
						LTE 2600	2,0 - 12,0	7,0
3	SWI3047	A114521R1v06 Huawei	235	24,40	26595*	LTE 1800	2,0 - 12,0	7,0
						LTE 2100	2,0 - 12,0	7,0
						LTE 1800	2,0 - 12,0	7,0
						LTE 2100	2,0 - 12,0	7,0
						UMTS 900	0,0 - 14,0	7,0
						LTE 800	0,0 - 14,0	7,0
						LTE 2600	2,0 - 12,0	7,0
						LTE 2600	2,0 - 12,0	7,0
4	SWI3047	A114521R1v06 Huawei	325	24,40	25678*	LTE 1800	2,0 - 12,0	7,0
						LTE 2100	2,0 - 12,0	7,0
						LTE 1800	2,0 - 12,0	7,0
						LTE 2100	2,0 - 12,0	7,0
						UMTS 900	0,0 - 14,0	7,0
						LTE 800	0,0 - 14,0	7,0
						LTE 2600	2,0 - 12,0	7,0
						LTE 2600	2,0 - 12,0	7,0

* moc EIRP łączna dla wszystkich częstotliwości anteny

Warunki pomiarów

Pomiary w wyznaczonych punktach wykonano w następujących warunkach:

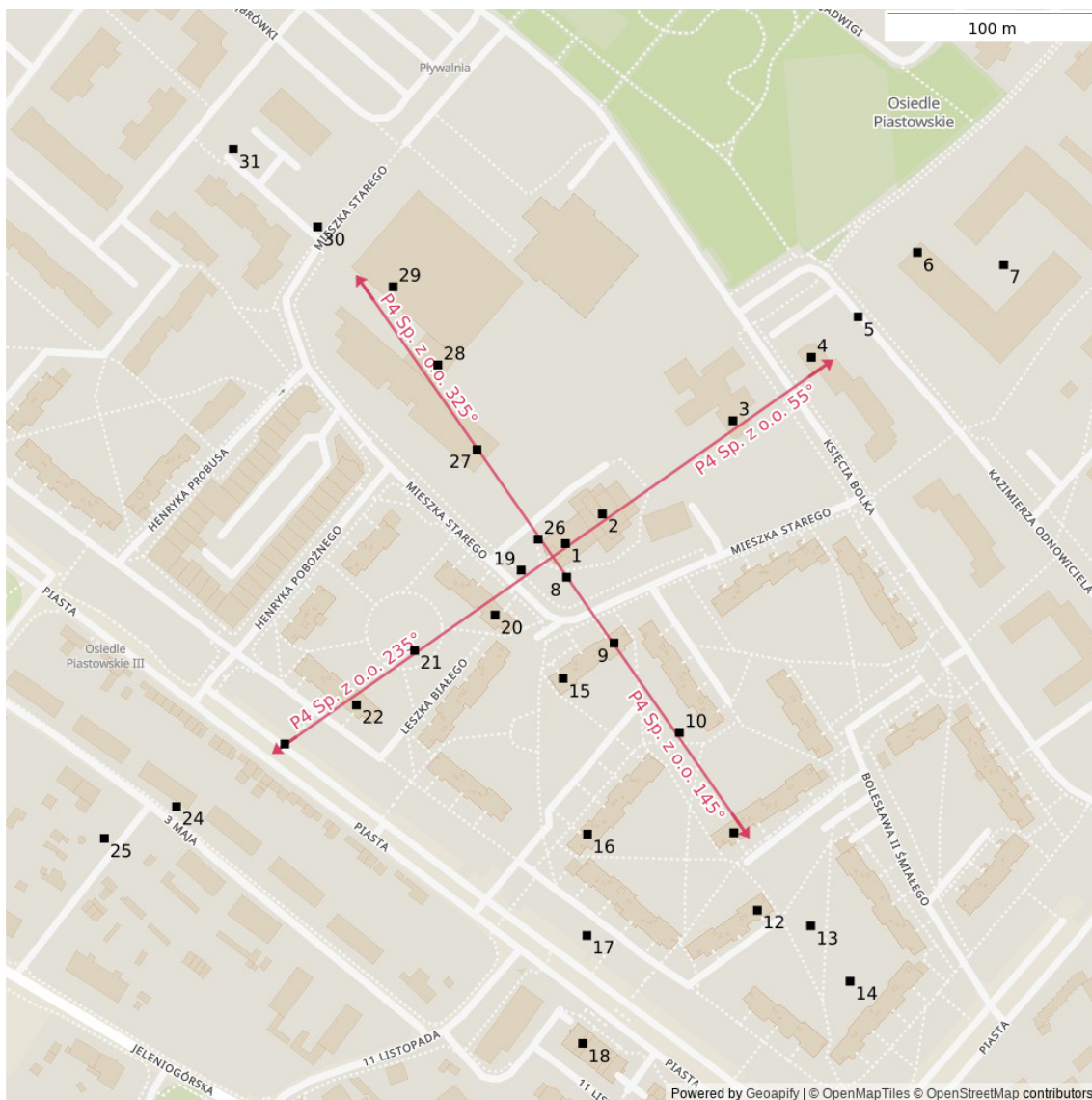
03.01.2024 08:10-10:30			
Warunki środowiskowe	Temperatura [°C]	Wilgotność [%]	Opady
Minimalna	9,2	74,8	brak
Maksymalna	10,3	77,5	

Aparatura

Tabela 2: Aparatura

MIERNIKI I SONDY					
Lp.	Typ / Nazwa	Model	Producent	Próg detekcji	Świadectwo wzorcowania
1a	miernik	SMP2	SMP		LWiMP/W/304/22 z dn. 07.10.2022 wydane przez Laboratorium Wzorców i Metrologii Pola Elektromagnetycznego Instytutu Telekomunikacji, Teleinformatyki i Akustyki Politechnika Wrocławska
1b	sonda	WPF8 HP	SMP	0,50	
2a	miernik	NBM- 550	Narda		LWiMP/W/086/23 z dn. 28.02.2023 wydane przez Laboratorium Wzorców i Metrologii Pola Elektromagnetycznego Instytutu Telekomunikacji, Teleinformatyki i Akustyki Politechnika Wrocławska
2b	sonda	EF6091	Narda	0,50	
POZOSTAŁE					
Lp.	Typ / Nazwa	Model	Producent	Świadectwo wzorcowania	
3	termohigrometr	H560	EMD Systemy Pomiarowe	2951.1-M54 -4180-1501/15 z dn. 19.08.2015 wydane przez GUM w Warszawie	

Lokalizacje pionów pomiarowych



Rysunek 1: Plan terenu

Dodatkowe informacje o punktach

punkt 1: wewnątrz kościoła - chór

punkt 2: wewnątrz kościoła

punkt 3: w budynku przedszkola nr 2, II kondg. sala zabaw dziecięca w otw. oknie

punkt 4: w bud. ul. Księcia Bolka 32/5, III kondg. balkon

punkt 9: w bud. ul. Mieszka Starego 17/10, V kondg. pokój w otw. oknie

punkt 11: w bud. ul. H. Brodatego 7, V kondg. klatka schodowa w otw. oknie

punkt 12: w bud. ul. H. Brodatego 5, V kondg. klatka schodowa w otw. oknie

punkt 15: w bud. ul. Mieszka Starego 21, V kondg. klatka schodowa w otw. oknie

- punkt 16:** w bud. ul. Łokietka 2, V kondg. klatka schodowa w otw. oknie
- punkt 18:** w bud. ul. 11 Listopada 7, II kondg. klatka schodowa
- punkt 20:** w bud. ul. Mieszka Starego 23/9, V kondg. pokój w otw. oknie
- punkt 22:** w bud. ul. Piasta 36 , III kondg. klatka schodowa w otw. oknie
- punkt 27:** w budynku Szkoły Podstawowej nr 2, III kondg. korytarz w otw. oknie
- punkt 28:** w budynku Szkoły Podstawowej nr 2, stołówka przy oknie
- punkt 29:** w budynku hali sportowej, III kondg. korytarz przy oknie

Wyniki pomiarów szerokopasmowych

Tabela 3: Zestawienie lokalizacji pionów pomiarowych oraz wyników pomiarów natężenia pola elektrycznego, pomiary szerokopasmowe

Nazwa	Data	Współrzędne geograficzne	E	WM _E	H	WM _H
		[°]	[$\frac{V}{m}$]		[$\frac{A}{m}$]	
1	03.01.2024	-	< 0,62	< 0,022	< 0,002	< 0,023
2	03.01.2024	-	< 0,62	< 0,022	< 0,002	< 0,023
3	03.01.2024	-	1,87	0,067	0,005	0,068
4	03.01.2024	-	3,86	0,138	0,010	0,140
5	03.01.2024	16,3149529 50,8655090	2,61	0,093	0,007	0,095
6	03.01.2024	16,3153591 50,8657875	2,74	0,098	0,007	0,100
7	03.01.2024	16,3159504 50,8657341	< 0,62	< 0,022	< 0,002	< 0,023
8	03.01.2024	16,3129559 50,8643837	1,49	0,053	0,004	0,054
9	03.01.2024	-	3,49	0,125	0,009	0,127
10	03.01.2024	16,3137283 50,8637123	0,87	0,031	0,002	0,032
11	03.01.2024	-	2,37	0,085	0,006	0,086
12	03.01.2024	-	0,87	0,031	0,002	0,032
13	03.01.2024	16,3146286 50,8628769	< 0,62	< 0,022	< 0,002	< 0,023
14	03.01.2024	16,3148975 50,8626366	< 0,62	< 0,022	< 0,002	< 0,023
15	03.01.2024	-	3,98	0,142	0,011	0,145
16	03.01.2024	-	1,87	0,067	0,005	0,068
17	03.01.2024	16,3130951 50,8628349	1,62	0,058	0,004	0,059
18	03.01.2024	-	1,37	0,049	0,004	0,050

Ciąg dalszy na następnej stronie

Tabela 3: Zestawienie lokalizacji pionów pomiarowych oraz wyników pomiarów natężenia pola elektrycznego, pomiary szerokopasmowe (c.d.)

Nazwa	Data	Współrzędne geograficzne	E	WM _E	H	WM _H
		[°]	[$\frac{V}{m}$]		[$\frac{A}{m}$]	
19	03.01.2024	16,3126450 50,8644142	1,49	0,053	0,004	0,054
20	03.01.2024	–	4,23	0,151	0,011	0,154
21	03.01.2024	16,3119144 50,8640671	1,12	0,040	0,003	0,041
22	03.01.2024	–	5,23	0,187	0,014	0,190
23	03.01.2024	16,3110256 50,8636627	1,99	0,071	0,005	0,072
24	03.01.2024	16,3102837 50,8633919	1,00	0,036	0,003	0,036
25	03.01.2024	16,3097897 50,8632545	1,12	0,040	0,003	0,041
26	03.01.2024	16,3127613 50,8645477	1,37	0,049	0,004	0,050
27	03.01.2024	–	3,24	0,116	0,009	0,118
28	03.01.2024	–	< 0,62	< 0,022	< 0,002	< 0,023
29	03.01.2024	–	0,87	0,031	0,002	0,032
30	03.01.2024	16,3112507 50,8658981	2,86	0,102	0,008	0,104
31	03.01.2024	16,3106728 50,8662338	1,37	0,049	0,004	0,050

Podsumowanie

Na podstawie wyników pomiarów pola elektromagnetycznego przedstawionych w niniejszym raporcie o nr 42/1/24/OS opracowanym przez Radiolog S.C. Tadeusz Piotrowski i Janusz Rzepka stwierdza się, że w otoczeniu stacji bazowej SWI3047 dopuszczalne poziomy pól elektromagnetycznych w środowisku, określone w przepisach wydanych na podstawie art. 122 ust. 1 ustawy z dnia 27 kwietnia 2001 r. – Prawo ochrony środowiska uznaje się za **dotrzymane**. Udokumentowano, że w żadnym pionie pomiarowym wartości wskaźnikowe WM_E oraz WM_H nie przekroczyły 1.

Osoby odpowiedzialne

Wykonanie pomiarów: b.d.

Opracowanie sprawozdania: b.d.

Autoryzacja sprawozdania: Janusz Rzepka (kierownik ds. jakości)